

Результаты исследования вентильных схем класса  $Sm(L)R/C$   
/ Repin A.M. The results of the study of ventil circuits of class  $Sm(L)R/C$

Анонс. Даны первоначальные авторские результаты исследования многофазных схем выпрямления с ёмкостным R/C-фильтром. Они получены в 1960-х годах начавшим приобщаться к конверсике автором совместно с коллегой К.П. Собиновым. Оформлены в виде научного отчёта. Исправлены и дополнены автором в 1967 г. И впервые предлагаются в электронной версии ныне. Как обещанное в [econf.gae.ru](http://econf.gae.ru) продолжение цикла авторских работ по вентильным конвертерам электроэнергии. И как документ, чудом сохранившийся.

Арх. № 3788

*Литературный архив*  
*[Signature]*

RC

 КОМИТЕТ СТАНДАРТОВ, МЕР И ИЗМЕРИТЕЛЬНЫХ ПРИБОРОВ ПРИ СОВЕТЕ МИНИСТРОВ СССР  
ВСЕСОЮЗНЫЙ НАУЧНО-ИССЛЕДОВАТЕЛЬСКИЙ ИНСТИТУТ ПО НОРМАЛИЗАЦИИ В МАШИНОСТРОЕНИИ  
**ВНИИНМАШ**

Т е м а

Переходные процессы в источниках питания и импульсных устройствах

Научный отчёт

Исследование электромагнитных процессов в схеме замещения  $m$ -фазного выпрямителя, работающего на активную нагрузку, шунтированную ёмкостью

$SmR/C$   $P=3$

Комитет стандартов, мер и измерительных  
приборов при Совете Министров СССР

Всесоюзный научно-исследовательский институт  
по нормализации в машиностроении

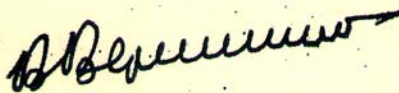
ВНИИНМАШ

Тема: Переходные процессы в источниках питания и  
импульсных устройствах.

Научный отчет

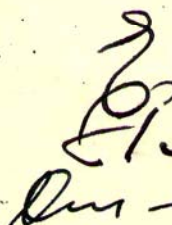
Исследование электромагнитных процессов в схеме заме-  
щения  $m$  -фазного выпрямителя, работающего на активную  
нагрузку, шунтированную емкостью.

Директор института  
к.т.н.



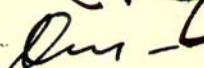
В.Верченко

Зам. директора по  
научной части



Е.Панфилов

Начальник отдела № 32

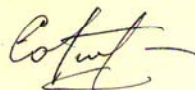


В.Сельский

Руководители темы,  
ответственные испол-  
нители и исполнители:



А.Репин



К.Собинов

Согласовано:

Начальник научно-  
технического отдела



В.Виноградов

Москва  
1967 г.

ПРОТОКОЛ № 11

заседания НТС отдела № 31 от 1.9.67 г.

Председатель - начальник отдела № 31 Тетерюков В.А.

Секретарь - инженер Фадеева Г.П.

Члены НТС -

начальник отдела № 32 Сельский В.А.

зам.начальника отдела № 31 Гаврилов А.В.

зам.начальника отд. № 30 Лоттерштейн А.Х.

зам.начальника отдела № 32 Релин А.М.

руководитель темы Собинов К.П.

руководитель темы Подкаминер Л.Л.

ведущий инженер Матусовский А.М.

ведущий инженер Виноградов В.П.

Обсуждён научный отчет "Исследование электромагнитных процессов в схеме замещения  $m$  - фазного выпрямителя, работающего на активную нагрузку, шунтированную ёмкостью" по теме "Электромагнитные процессы в источниках питания и импульсных устройствах".

НТС отмечает:

I. Проведён полный анализ указанной системы без учёта внутреннего сопротивления трансформатора и вентилях. Получены аналитические выражения напряжений и токов. Построены расчётные графики. Дана методика расчёта. Выявлено наличие двух принципиальных режимов работы схемы - докритического и критического, определяемых критической величиной ёмкости. Подобный анализ и методика расчёта в литературе отсутствует. Результаты работы найдут применение в практике и теории преобразовательной техники.

2. Работа может быть рекомендована к опубликованию.

3. Работа рекомендуется к утверждению.

Председатель НТС



В.Тетерюков

Члены НТС



В.Сельский



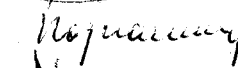
А.Гаврилов



А.Лоттерштейн



А.Репин



К.Собинов



Л.Подкаминер



А.Матусовский



В.Виноградов

"Исследование электромагнитных процессов  
в схеме замещения  $m$  - фазного выпрями-  
теля, работающего на активную нагрузку,  
шунтированную емкостью".

## АННОТАЦИЯ

В работе выполнен анализ электромагнитных процессов в схеме замещения  $m$  - фазного выпрямителя, работающего на параллельную цепь "активное сопротивление - ёмкость". Внутреннее сопротивление трансформатора выпрямителя не учитывается. К указанной схеме сводится обширный круг практических схем из областей выпрямителей, фильтров, вычислительной техники и т.п. На основе анализа дана методика расчёта подобных схем, позволяющая с малыми затратами времени проводить их анализ и практическое исполнение, а так же проводить их унификацию. Работа имеет и теоретическое значение, освещая по новому ряд вопросов преобразовательной техники.

=====

Схема замещения  $m$  - фазного выпрямителя с нулевой точкой трансформатора <sup>х)</sup> изображена на рис. 1. Первичная обмотка трансформатора не указана. На рис. 2 приведены диаграммы токов и напряжений в рассматриваемой схеме.

Приняты обозначения:

$C$  - ёмкость конденсатора.

$R$  - сопротивление нагрузки.

$T_p$  -  $m$  - фазный трансформатор.

$B_1; B_2; \dots; B_k$  - вентили.

$e_1; e_2; \dots; e_k$  - мгновенные значения ЭДС соответствующих фаз трансформатора  $T_p$ .

$i_c; i_o; i_e$  - мгновенные значения токов ёмкости, нагрузки  $R$  и вентиля соответственно.

$U_o = i_o R = U_c$  - мгновенное значение напряжения на нагрузке  $R$  (или на ёмкости  $C$ ).

$T_m = \frac{2\pi}{m}$  период  $T_m = \frac{T}{m}$ .

$m$  - число фаз выпрямления.

$\vartheta = \omega t$  - независимая переменная <sup>1</sup>

$\omega = 2\pi f$  - угловая частота;  $f = \frac{1}{T}$  частота;  $t$  - время.

$\psi$  - начальная фаза ЭДС  $e_1$ .

$\theta_{om}; \theta_{em}; \theta_{cm}$  - <sup>момента</sup>  $\sqrt{\quad}$  максимума выпрямленного тока, тока вентиля и тока ёмкости соответственно.

$\lambda_e$  - длительность горения вентиля.

$\bar{I}_o; \bar{I}_e$  - среднее значение выпрямленного тока и тока вентиля соответственно.

<sup>х)</sup> Работа мостовых схем выпрямления (однофазной и трёхфазной Ларионова) в принципе не отличается от анализируемой. Некоторые особенности работы этих схем отмечены в тексте.

$\mathcal{I}_E$  - эффективное значение тока вентиля.

$U_{обр}$  - мгновенное значение обратного напряжения вентиля.

$\Delta U = U_{оmax} - U_{оmin}$  - пульсация выпрямленного напряжения.

( $U_{оmax}; U_{оmin}$  - соответственно максимальное и минимальное напряжение на нагрузке).

$i_o^I; i_o^{II}; i_c^I; i_c^{II}; U_o^I$  и т.д. - мгновенные значения соответствующих токов и напряжений в I и II интервалах.

$\bar{i}_o; \bar{U}_o; \bar{U}_{обр}$  и т.д. - мгновенные значения величин в относительных единицах.

$e$  - основание натуральных логарифмов.

I - интервал работы вентиля (вентиль открыт).

II - интервал самостоятельного разряда ёмкости (вентили закрыты).

### Вывод основных соотношений

Принимаем следующие допущения:

1. Трансформатор и вентили считаем идеальными, т.е. пренебрегаем внутренним сопротивлением трансформатора и работающего вентиля, а также обратными токами вентиляей.

2. Для анализа установившегося режима достаточно рассмотреть один период  $T = \frac{2\pi}{\omega}$ . Как видно из рис. 2 период содержит три интервала:

а) Интервал заряда ёмкости ( $0 \leq \vartheta \leq \frac{\pi}{2} - \psi$ )

В этом интервале источник с электродвижущей силой (ЭДС)  $e$  питает нагрузку  $R$  и обеспечивает заряд ёмкости  $C$ .

б) Интервал вынужденного разряда ёмкости ( $\frac{\pi}{2} - \psi \leq \vartheta \leq \lambda_B$ )

В этом интервале нагрузку  $R$  питают и источник и конденсатор.



в) Интервал самостоятельного разряда емкости C  
 ( $\lambda_e \leq \vartheta \leq \frac{2\pi}{\pi}$ )

В этом интервале вентили закрыты, источник отключен и нагрузку питает только емкость.

Поскольку возможны только два режима работы схемы в целом, соответствующие двум состояниям вентиля (открытое и закрытое), то и систем уравнений, описывающих процессы, оказывается две, и для анализа процессов достаточно рассмотреть два интервала: Интервал I (рис. 2), когда вентиль открыт и интервал II - интервал самостоятельного разряда конденсатора (вентиль закрыт). Предположим, что в I интервале работает вентиль  $B_1$ . Питаящая ЭДС  $e_1 = \epsilon_m \sin(\vartheta + \psi)$ , *момент вступления в работу вентиля относительно нуля, возрастающей части синусоиды питающей ЭДС.* где:  $\epsilon_m$  - амплитуда;  $\vartheta = \omega t$ ;  $\psi$  - начальная фаза, (коэффициент трансформации трансформатора принят за единицу).

Интервал I ( $0 \leq \vartheta \leq \lambda_e$ )

Для выбранных направлений токов (рис. 1) имеем:

$$i_e^i = i_o^i + i_c^i$$

Токи  $i_o^i$  и  $i_c^i$  определяются как:

$$i_o^i = \frac{e_1}{R} ; \quad i_c^i = C \frac{dU_c}{dt} = \omega C \frac{de_1}{d\vartheta} ,$$

что очевидно, ибо при открытом вентиле  $B_1$

$$U_c^i = U_o^i = e_1 = \epsilon_m \sin(\vartheta + \psi).$$

В итоге получаем

$$i_o^i = \frac{\epsilon_m}{R} \sin(\nu + \psi); \quad i_c^i = \epsilon_m \omega C \cos(\nu + \psi).$$

$$i_B^i = \frac{\epsilon_m}{R} [\sin(\nu + \psi) + \omega RC \cos(\nu + \psi)].$$

Обозначим  $\text{tg} \beta = \omega RC$  и перейдем к относительным величинам  $\bar{i} = \frac{i}{\frac{\epsilon_m}{R}}; \quad \bar{u} = \frac{u}{\epsilon_m}$ .

Выражения для токов и напряжений принимают вид:

$$\text{если } \text{ctg} \varphi = \omega RC = g,$$

$$\beta = \frac{\pi}{2} - \varphi, \text{ то:}$$

$$\bar{i}_o^i = \sin(\nu + \psi). \quad (1)$$

$$\bar{i}_c = \sin(\nu + \psi),$$

$$\bar{i}_c^i = \cos(\nu + \psi) \cdot \text{tg} \beta. \quad (2)$$

$$\bar{i}_c = \text{ctg} \varphi \cos(\nu + \psi),$$

(3.5)

$\lambda - \nu = \pi - \lambda$ .

(3.3)

$$\bar{i}_c = \frac{1}{\cos \beta} \sin(\lambda - \nu)$$

$$\bar{i}_c^i = \frac{1}{\cos \beta} \sin(\nu + \psi + \beta). \quad (3)$$

$$\bar{i}_B = \frac{1}{\sin \varphi} \cos(\nu + \psi + \varphi) =$$

$$\bar{i}_B = \frac{1}{\sin \varphi} \sin(\lambda - \nu),$$

$$\bar{u}_o^i = \bar{i}_o^i = \bar{u}_c^i = \sin(\nu + \psi). \quad (4)$$

$$\bar{u}_c = \sin(\nu + \psi).$$

Интервал II ( $\lambda_B \leq \nu \leq \frac{2\pi}{m}$ )

В данном интервале вентили закрыты, конденсатор  $C$  разряжается на нагрузку  $R$ :

$$i_o^{\text{II}} = -i_c^{\text{II}},$$

$$i_c = -\frac{u_c(\lambda)}{R} e^{-(\nu - \lambda) \text{tg} \varphi}$$

где  $i_c^{\text{II}} = -\frac{u_c^i(\lambda_e)}{R} e^{-(\nu - \lambda_e) \text{ctg} \beta}$

- известное выражение для

тока ёмкости при разряде на активное сопротивление.

Таким образом,

$$i_o^{\text{II}} = \frac{u_c^i(\lambda_e)}{R} e^{-(\nu - \lambda_e) \text{ctg} \beta}; \quad u_o^{\text{II}} = u_c^{\text{II}} = i_o^{\text{II}} \cdot R = u_c^i(\lambda_e) e^{-(\nu - \lambda_e) \text{ctg} \beta}$$

Величина начального (т.е. перед разрядом) напряжения конденсатора  $U_c^i(\lambda_0)$  определяется из (4) при  $\psi = \lambda$ :

что даёт  $U_c^i(\lambda_0) = \epsilon_m \sin(\lambda + \psi) = \sin \beta = \cos \psi$ .

Введя относительные величины  $\bar{i}_0^i = \frac{i_0^i}{\epsilon_m}$  и  $\bar{U}_0^i = \frac{U_0^i}{\epsilon_m}$ ,

получаем в относительных единицах:

$$\bar{i}_0^i = \bar{U}_0^i = \sin(\lambda_0 + \psi) e^{-(\psi - \lambda_0) \text{ctg} \beta} \quad (4)$$

Найдём зависимости, позволяющие определить  $\psi$  и  $\lambda_0$ :

Из условия  $i_0^i(0) = i_0^i\left(\frac{2\pi}{m}\right)$  получаем:

$$\text{tg} \psi = \frac{\sin \lambda_0 \cdot e^{-(\frac{2\pi}{m} - \lambda_0) \text{ctg} \beta}}{1 - \cos \lambda_0 \cdot e^{-(\frac{2\pi}{m} - \lambda_0) \text{ctg} \beta}} \quad (4')$$

Из условия  $i_0^i(\lambda_0) = 0$  находим

$$-\text{ctg} \psi = \text{tg}\left(\psi + \frac{\pi}{2}\right)$$

$$\text{tg}(\lambda_0 + \psi) = -\text{tg} \beta, \quad \frac{\pi}{2} - \lambda + \psi$$

откуда  $\lambda_0 + \psi = \pi - \beta$  или  $\psi = \pi - (\beta + \lambda_0)$ . (5)

$\lambda_0$  зависит от  $m$  (или  $\psi$ ).

Подставив  $\psi$  из (5) в (4)', окончательно имеем: (6)

Проще:  $\sin(\lambda + \beta) = \sin \beta e^{-(2\theta - \lambda) \text{ctg} \beta}$  или  $\cos(\lambda - \psi) = \cos \psi e^{-(2\theta - \lambda) \text{ctg} \beta}$ ,  $\theta = \frac{\pi}{m}$ . (6') (6'')

$$\text{tg}(\lambda_0 + \beta) = \frac{\sin \lambda_0 \cdot e^{-(\frac{2\pi}{m} - \lambda_0) \text{ctg} \beta}}{\cos \lambda_0 \cdot e^{-(\frac{2\pi}{m} - \lambda_0) \text{ctg} \beta} - 1} \quad (6)$$

$$\text{ctg}(\lambda + \beta) = \text{ctg} \lambda - \frac{1}{\sin \lambda} e^{(\frac{2\pi}{m} - \lambda) \text{ctg} \beta}$$

$$\frac{\sin \beta}{\sin \lambda \sin(\lambda + \beta)} = \frac{1}{\sin \lambda} e^{(\frac{2\pi}{m} - \lambda) \text{ctg} \beta}$$

$$\left(\frac{2\pi}{m} - \lambda\right) \text{ctg} \beta = \ln \frac{\sin \beta}{\sin(\lambda + \beta)}$$

отсюда  $\text{ctg} \beta$ , когда  $\theta = 0, \lambda = \pi/2$ , получаем  $2\theta - \frac{\pi}{2} - \text{tg} \beta \ln \text{tg} \beta = 0$

$$\left(\frac{2\pi}{m} - \lambda\right) \text{ctg} \beta = \ln \frac{\sin \beta}{\sin(\beta + \lambda)} \quad (6''') (6''')$$

Зависимости (5) и (6) позволяют определить  $\lambda_\beta$  и  $\psi$ , как функции параметра  $\beta$  (т.е. как функции параметров схемы, ибо  $\beta = \arctg \omega RC$ ).

Определим характерные точки зависимостей  $\bar{i}_c^I$ ;  $\bar{i}_o^I$ ;  $\bar{i}_\beta^I$ .

Ток  $\bar{i}_c^I$  : максимума не имеет,  
ибо :

$$\left. \frac{d \bar{i}_c^I}{d \vartheta} \right|_{\vartheta = \vartheta_{cm}} = - \operatorname{tg} \beta \cdot \sin(\vartheta_{cm} + \psi) < 0,$$

где  $\vartheta_{cm}$  - момент максимума  $\bar{i}_c^I$ .

Наибольшее значение тока  $\bar{i}_c^I$  будет при  $\vartheta = 0$  ( $\vartheta_{cm} = 0$ )  
(момент  $\vartheta = \lambda_\beta$  не рассматривается):

$\bar{i}_{c \max}^I = \operatorname{tg} \beta \cdot \cos \psi$ . Или после подстановки  $\psi$  из (5):

$$\bar{i}_{c \max}^I = - \operatorname{tg} \beta \cdot \cos(\lambda_\beta + \beta) \quad \text{х) } \operatorname{tg} \beta \cos \psi = \operatorname{ctg} \psi \cos \psi = \psi \cos \psi. \quad (7)$$

В момент  $\vartheta = \vartheta_{om}$  ток  $i_c = C \frac{d u_c}{d t} = \omega C \frac{d e}{d \vartheta} = C \frac{d (E_m \sin(\vartheta + \psi))}{d \vartheta} \Big|_{\vartheta = \vartheta_{om}} = 0$   
 $= C E_m \cos(\vartheta_{om} + \psi) = C E_m \cos \frac{\pi}{2} = 0$ .

где:  $\vartheta_{om}$  - момент максимума тока  $\bar{i}_o^I$ .

Ток  $\bar{i}_o^I$  :  
Имеет максимум в момент  $\vartheta = \vartheta_{om}$

$$\left. \frac{d \bar{i}_o^I}{d \vartheta} \right|_{\vartheta = \vartheta_{om}} = \cos(\vartheta_{om} + \psi) = 0, \text{ т.е. } \vartheta_{om} + \psi = \frac{\pi}{2}, \text{ откуда } \vartheta_{om} = \frac{\pi}{2} - \psi, \quad \vartheta_c = \lambda - \psi.$$

(где  $\vartheta_c$  при  $\pi/2$  имеет)

что следует и непосредственно из рис. 2, максимум.

Подставив  $\psi$  из (5), получаем

$$\vartheta_{om} = \lambda_\beta + \beta - \frac{\pi}{2} = \lambda - \psi. \quad (8)$$

х) т.к.  $\frac{\pi}{2} < \lambda_\beta + \beta < \pi$  всегда, то  $\cos(\lambda_\beta + \beta) < 0$  и  $\bar{i}_{c \max}^I > 0$ .

$$i_B = \frac{1}{\sin \psi} \sin(\lambda - \nu)$$

Ток вентили  $\bar{i}_B^i : = \frac{1}{\cos \beta} \sin(\lambda - \nu)$  (8')

В момент  $\theta_{em}$  должен иметь максимум

$$i_B' = -\frac{1}{\sin \psi} \cos(\lambda - \nu) / \epsilon_B = -\frac{1}{\sin \psi} \cos(\lambda - \theta_B) = 0$$
$$\lambda - \theta_B = \frac{\pi}{2}$$

$$\left. \frac{di_B^i}{d\nu} \right|_{\nu = \theta_{em}} = \cos(\theta_{em} + \psi) - \operatorname{tg} \beta \cdot \sin(\theta_{em} + \psi) = 0,$$

откуда  $\operatorname{ctg}(\theta_{em} + \psi) = \operatorname{tg} \beta,$

т.е.  $\theta_{em} + \psi = \frac{\pi}{2} - \beta$ . Или после подстановки  $\psi$  из (5):

$$\theta_{em} = \lambda_e - \frac{\pi}{2} = \quad (9)$$

Как и следовало ожидать,  $\theta_{em} < \theta_m$ .  $(\theta_{em} = \frac{\pi}{2} - \psi - \beta = \theta_m - \beta)$   
 $(\theta_{em} = \lambda_e - \frac{\pi}{2} = \lambda_e - \frac{\pi}{2} + \beta - \beta = \theta_m - \beta)$

Из (9) следует, что максимум тока вентили существует при

$$\lambda_e \geq \frac{\pi}{2}$$

В точке  $\nu = 0$  ток  $\bar{i}_B^i(0) = \frac{1}{\cos \beta} \sin(\psi + \beta)$ . Или после подстановки  $\psi$  из

(5):

$$\bar{i}_B^i(0) = \frac{1}{\cos \beta} \cdot \sin \lambda_e = \frac{1}{\sin \psi} \sin \lambda$$
 (10)

В момент  $\nu = \lambda_e$  ток

$$\bar{i}_B^i(\lambda_e) = 0.$$

Начальный

(при  $\nu = 0$ ) бросок зарядного <sup>x)</sup> тока ёмкости в этом случае всегда больше тока нагрузки  $\bar{i}_B^i(0)$ .

Далее, поскольку длительность горения вентили ни при каких соотношениях R и C схемы не может превышать  $\lambda_{кр} = \frac{2\pi}{m}$ , то, подставив  $\lambda_{кр}$  в (9), получаем критическое значение момента максимума тока вентили

$$\theta_{emкр} = \frac{\pi(4-m)}{2m}. \text{ Откуда следует, что при } m > 3 \theta_{emкр} < 0, \text{ т.е.}$$

x) зарядным назван положительный ток ёмкости (рис. 2)

xx) Продолжение данного текста см. на стр. 17 /10/.

## Вставки.

О **границном режиме**. / К стр./10/, после формулы (10).

Для  $m = 1$ ,  $m = 2$ ,  $m = 3$  существует **границное** значение  $\lambda_{вгр}$ , когда  $\Theta_{вm} = 0$ :  $\lambda_{вгр} = \pi/2$ .

Из (6) определяем  $\beta_{гр}$ . Из (5):  $\Psi_{гр} = \pi/2 - \beta_{гр}$ . При  $\text{tg}\beta > \text{tg}\beta_{гр}$ , значение  $(\beta > \beta_{гр}) \rightarrow \lambda < \lambda_{гр}$ . Следовательно, **экстремума** импульса тока  $i_{в}$  **нет**.

На обороте (pto) стр.9 **отчёта 1967** по **SmR/IC**. К стр./10/ после "**Границный режим**".

## Кратко об энергии.

### Физика.

С ростом ёмкости  $C$  конденсатора увеличивается энергия зарядного импульса. Иначе, импульса тока вентиля, обмоток трансформатора и сети. Это ясно из очевидных физических соображений. Действительно, с увеличением ( $\uparrow$ )  $C$  при прочих равных условиях возрастает ( $\uparrow$ ) интервал свободного разряда конденсатора. Постоянная времени цепи разряда увеличивается. Экспонента разряда на графике, начинаясь выше по напряжению  $u$  и раньше по времени  $t$  (или  $\vartheta = \omega t$ ), идёт положе (см. рис.18), что приводит к увеличению напряжения на нагрузке и росту её тока при неизменном значении сопротивления  $R$ . Следовательно, при  $\uparrow C$  конденсатор должен питать нагрузку не только более длительное время, но и обеспечить **большой** её ток и **большее** напряжение на ней. Иначе говоря, обеспечить **большую** мощность за более длительное время. То есть **большую энергию**.

Согласно закону баланса энергии, конденсатор, как пассивный источник энергии, может, в установившемся режиме, отдать лишь столько энергии в нагрузку за время свободного разряда (за время паузы), сколько он приобретёт её во время заряда (во время импульса) за вычетом энергии, отданной нагрузке в интервале вынужденного разряда (об интервалах см. стр.4). При условии, что увеличение ёмкости  $C$  уменьшает длительность импульса зарядного тока, рост энергии возможен при увеличении **амплитуды** этого импульса.

### Математика.

О росте энергии можно судить по росту площади импульса тока вентиля  $i_{в}$ .

$$S_{i_{в}} = \int i_{в} d\vartheta \mid \forall \vartheta \in [0, \lambda] = [(-)(-) \cos(\lambda - \vartheta) / \cos\beta] \mid \forall \vartheta \in [0, \lambda] = (1 - \cos\lambda) / \cos\beta.$$

Например, для  $m = 2$ .

При  $\lambda_{\max} = \pi$ :  $\beta = 0$ ,  $\cos\beta = 1$ ,  $S_i = 1 - \cos\pi = 2$ .

При  $\lambda \rightarrow 0$ :  $\beta = \pi/2$ ,  $\cos\beta \rightarrow 0$ ,  $S_i = 0/0$ . Неопределённость.

$\lambda = f(\beta)$ .  $\beta \rightarrow \pi/2$  быстрее, чем  $\lambda \rightarrow 0$ .  $1/\cos\beta \rightarrow \infty$  быстрее, чем  $(1 - \cos\lambda) \rightarrow 0$ .

Для иллюстрации при  $m = 2$ : приближённый (на логарифмической линейке) расчёт для небольшого диапазона значений  $\text{tg}\beta = \omega RC = 0 \div 50$ .

$\text{tg}\beta \mid 0 \quad 2,4 \quad 4 \quad 10 \quad 20 \quad 50$

$S_i \mid 2 \quad 2,6 \quad 2,7 \quad 2,9 \quad 3 \quad 3,2$ . Площадь увеличилась примерно в полтора раза.

21.8.67

СмРНС

Р.5, к сгр. 10 от 21.8.67

Граничный режим, когда  $\lambda = \frac{\pi}{2}$ ;  $\theta_B = 0$ ;

из (6):  $\cos(\lambda - \varphi) = \cos \varphi e^{-(2\theta - \lambda) \operatorname{tg} \varphi} \Big|_{\lambda = \pi/2}$  имеем:

$$\cos\left(\frac{\pi}{2} - \varphi\right) = \cos \varphi e^{-\left(2\frac{\pi}{m} - \frac{\pi}{2}\right) \operatorname{tg} \varphi}$$

$$\sin \varphi = \cos \varphi e^{-\dots}$$

$$\operatorname{tg} \varphi_{гр} = e^{-\pi \left(\frac{4-m}{2m}\right) \operatorname{tg} \varphi_{гр}}$$

$$\psi_{гр} = \frac{\pi}{2} - \frac{\sqrt{\pi}}{2} + \varphi_{гр}; \quad \psi_{гр} = \varphi_{гр}$$

$$\psi_{гр} = \frac{\pi}{2} - \beta_{гр}$$

$$2\theta - \frac{\pi}{2} - \operatorname{tg} \beta_{гр} \ln \operatorname{tg} \beta_{гр} = 0,$$

$$\frac{4-m}{2m} \pi - \operatorname{tg} \beta_{гр} \ln \operatorname{tg} \beta_{гр} = 0$$

$$\frac{4-m}{2m} \pi - \operatorname{ctg} \varphi_{гр} \ln \operatorname{ctg} \varphi_{гр} = 0$$

Гранич. режим возм. при  $m \leq 4$

т.е. уже при  $m = 4$ ,  
граничный режим

сущ-т! точно  
тоже, когда  
и критич-й!

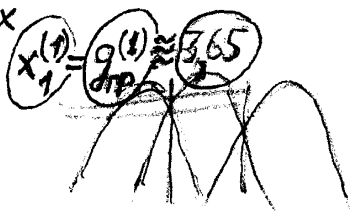
при  $m > 3$ :  $\theta_B < 0$  всегда

т.е.  $\theta_B = 0$

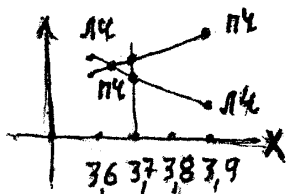
$$\theta_{B \text{ кр}} = \frac{\pi(4-m)}{2m}$$

$$m=3: \theta_{B \text{ кр}}^{(3)} = \frac{\pi}{6}$$

$m=1$   $\frac{1}{2}\pi = x \ln x$   
 $\frac{4,712388}{x} = \ln x$



X	3.6	3.9	3.7
лч	1,31	1,21	1,272
пч	1,28	1,36	1,308



Т.к.:

$$\ln \operatorname{tg} \beta_{гр} = 0, \text{ т.е.}$$

$$\operatorname{tg} \beta_{гр} = 1, \text{ то}$$

$$\beta_{гр}^{(4)} = 45^\circ = \theta,$$

$$\alpha \beta_{\text{крит}}^{(4)} = \theta = \frac{\pi}{4} = 45^\circ$$

о,к!

### Обратное напряжение на вентиле

Обратное напряжение на вентиле  $U_{обр}$  определяется как напряжение между катодом и анодом вентиля в непроводящем его состоянии. В общем случае находится как алгебраическая разность выходного (выпрямленного) напряжения  $U_o = U_c$  и ЭДС фазы трансформатора.

Весьма наглядно форма обратного напряжения отображается ординатами заштрихованной части графика Рис.2' ( $U_{обр}$  для вентиля 1). Кривая  $U_{обр}$  относительно катода вентиля построена на рис. по ординатам Рис.2' (заштриховано вертикальными линиями). Аналогично получаем  $U_{обр}$  для любой схемы  $m$ -фазного выпрямления. В интервалах самостоятельного разряда конденсатора (интервалы II', II'' и т.д.) обратное напряжение равно:  $U_{обр} = U_o - e_k$ , где  $e_k$  – ЭДС соответствующей фазы (см.Рис.).

В остальных интервалах (когда открыты вентили, кроме рассматриваемого):

$$U_{обр} = e_k - e_1.$$

Для выбора вентиля важно знать амплитуду обратного напряжения. Учитывая, что в режиме холостого хода ( $XХ, R \rightarrow \infty$ ) конденсатор заряжается до величины  $\mathcal{E}_m$ , и что режим ХХ возможен в любой схеме, следует выбирать вентили по максимальному значению обратного напряжения  $U_{обр \max}$ .

Для схемы Ларионова  $U_{обр} = \sqrt{3}$  – при соединении вторичных обмоток трансформатора звездой и  $U_{обр} = 1$  – при соединении вторичных обмоток треугольником.



точки максимума тока  $\bar{i}_B^i$  нет. Для  $m=3$   $\theta_{втр} = \frac{\pi}{6}$

Поскольку при  $C \neq 0$  всегда  $\lambda_B \leq \lambda_{кр} = \frac{2\pi}{m}$ , то при  $m > 3$  максимума  $\bar{i}_B^i$  нет. В этом случае наибольшее значение тока вентиля будет при  $\nu = 0$  и определяется выражением (10)

Итак: для определения максимального тока вентиля схем выпрямления с  $m=1$  и  $m=2$ , при  $\lambda_B \geq \frac{\pi}{2}$  следует пользоваться зависимостью (3), которая после подстановки  $\psi$  из (5) и  $\theta_{втр}$  из (9), принимает вид (при  $\omega RC < (\omega RC)_{тр}$ ):

$$\bar{i}_{Bmax} = \frac{1}{\cos\beta} = \frac{1}{\sin\psi} \quad (10^a)$$

При определении  $i_{Bmax}$  схем выпрямления с  $m > 3$  и схем с  $m=1, m=2$ , при  $\lambda_B < \frac{\pi}{2}$  следует использовать зависимость (10):

$$\bar{i}_{Bmax} = \frac{1}{\cos\beta} \cdot \sin\lambda_B \quad (10)$$

Определим далее все остальные величины, необходимые для расчёта схемы и выбора её параметров:  $\bar{I}_o$ ;  $I_B$ ;  $\Delta U$ ;  $U_{обр.max}$ .

### МАКСИМАЛЬНОЕ ОБРАТНОЕ НАПРЯЖЕНИЕ $U_{обр.max}$ .

Для  $m=1, m=2, m=6, m=12$  /схемы с нулевым выводом/  
 $U_{обр.max} = 2\epsilon_m$ . Для  $m=3$   $U_{обр.max} = \sqrt{3}\epsilon_m$ . Для  $m=6$

/мостовая схема Ларионова/  $U_{обр.max} = \epsilon_{m.l}$ , где  $\epsilon_{m.l}$  - амплитуда линейного напряжения на входе моста. Для однофазной мостовой схемы максимальное значение обратного напряжения равно амплитудному значению э.д.с.  $e$ , т.е.  $U_{обр.max} = \epsilon_m$ .

### Среднее значение выпрямленного тока $\bar{I}_o$ и напряжения $U_o$

Определяется как

$$\bar{I}_o = \frac{m}{2\pi} \left[ \int_0^{\lambda_B} i_o^i d\nu + \int_{\lambda_B}^{\frac{2\pi}{m}} i_o^{\bar{i}} d\nu \right].$$

После подстановки  $i_o^i$ ;  $i_o^{\bar{i}}$  из (3) и (4), интегрирования и преобразований получаем в относительных единицах:

1) Далее (при  $C > C_{кр}$ ) будет показано точнее.

в стр. 11 перед заголовком "Эффект зажигания":  
 при  $\beta \leq \beta_{кр}$ , ( $C \leq C_{кр}$ ) значение  $I_0 = U_0$  (не) зависит от  $\omega RC$   
 и равно как при  $C = 0$ .

действ-но, из (23) стр. 17

$$\beta_{кр} = \frac{\pi}{2} - \theta; \quad \lambda_{кр} = \theta.$$

подставляя в (11а), получаем:

$$I_{0(R)кр} = \frac{\sin^2 \theta}{\theta \cos(\frac{\pi}{2} - \theta)} = \frac{\sin^2 \theta}{\theta \sin \theta} = \frac{\sin \theta}{\theta}, \quad 0, \text{ кэи!}$$

$$\bar{I}_0 = \frac{m}{2\pi} \frac{1}{\cos \beta} [\cos(\psi + \beta) - \cos(\lambda_в + \psi + \beta)] = \bar{U}_0 \quad (11)$$

где:  $\bar{I}_0 = \frac{I_0}{\frac{\epsilon_m}{R}}$ ;  $\bar{U}_0 = \frac{U_0}{\epsilon_m}$ .

Иначе (11) можно записать как:

$$\bar{I}_0 = \bar{U}_0 = \frac{\pi}{m} \frac{1}{\cos \beta} \cdot \sin \frac{\lambda_в}{2} \cdot \sin(\frac{\lambda_в}{2} + \beta + \psi) \quad (11^a)$$

При  $\beta = 0$  (т.е.  $C = 0$  - случай чисто активной нагрузки)

- имеем:  $\lambda_в = \frac{2\pi}{m}$ ;  $\psi = \frac{\pi(m-2)}{2m} = \frac{\pi}{2} - \theta$ ,

и из (11<sup>a</sup>) получаем известную формулу

$$\bar{I}_0 = \bar{U}_0 = \frac{m}{\pi} \sin \frac{\pi}{m}; \quad (\text{для } m \geq 2).$$

Очевидно, что среднее значение тока вентиля равно среднему значению выпрямленного тока  $I_0/m$ , поскольку среднее значение тока конденсатора за период равно 0.

Эффективные значения тока вентиля  $\mathcal{I}_в$  и тока  
 базы вторичной обмотки трансформатора  $\mathcal{I}_ф$

Эффективное значение тока вентиля

$$\mathcal{I}_в = \sqrt{\frac{1}{2\pi} \int_0^{\lambda_в} (i_в^i)^2 d\psi}$$

После подстановки  $i_в^i$  из (3), интегрирования и преобразований получаем в относительных единицах:

$$\bar{\mathcal{I}}_в = \frac{1}{2\sqrt{2\pi}} \cdot \frac{1}{\cos \beta} \cdot \sqrt{2\lambda_в - \sin 2\lambda_в}, \quad (12)$$

где:  $\bar{\mathcal{I}}_в = \frac{\mathcal{I}_в}{\frac{\epsilon_m}{R}}$ ;  $\lambda_в$  определяется из (6).

Выражение (12) справедливо для  $m$  - фазных схем выпрямления с нулевой точкой и однофазной мостовой схемы Греча. Для трёхфазной мостовой схемы Ларионова эффективное значение тока вентиля будет:

$$\bar{\mathcal{I}}_в' = \sqrt{2} \bar{\mathcal{I}}_в \dots (13) \quad (\text{где: } \bar{\mathcal{I}}_в \text{ опр-ся по (12) для } m = 6),$$

поскольку время открытого состояния каждого вентиля схемы Ларионова вдвое больше, чем в 6-фазной схеме с нулевым выводом.

Ток фазы трансформатора  $m$  - фазной схемы с нулевым выводом

$$\bar{I}_\varphi = \bar{I}_e \quad (14)$$

Ток фазы трансформатора однофазной мостовой схемы Грца

$$\bar{I}'_\varphi = \sqrt{2} \bar{I}_e \quad (15)$$

где:  $\bar{I}_e$  определяется по (12) для  $m = 2$ .

Ток фазы трансформатора (точнее - ток в линейном проводе) мостовой трёхфазной схемы Ларионова (рис. 3)

$$\bar{I}'_\varphi = \sqrt{2} \bar{I}'_e \quad (16) \quad \text{или} \quad \bar{I}'_\varphi = 2 \bar{I}_e,$$

где:  $\bar{I}'_e$  определяется по (13).

### Пульсация выпрямленного напряжения $\Delta U$

$$\Delta U = U_{\max} - U_{\min} \quad (\text{см. рис. 2}).$$

$$U_{\max} = i_{\max}^i \cdot R; \quad U_{\min} = i_{\min}^i \cdot R = i_0^i \left( \frac{2\pi}{m} \right) \cdot R.$$

$$i_{\max}^i = i_0^i (\theta_{om}) = i_0^i \left( \frac{\pi}{2} - \psi \right) = \frac{\varepsilon_m}{R} \sin \left( \frac{\pi}{2} + \psi - \psi \right) = \frac{\varepsilon_m}{R}.$$

$$U_{\max} = i_{\max}^i \cdot R = \varepsilon_m.$$

В относительных единицах.

$$\bar{U}_{\max} = \frac{U_{\max}}{\varepsilon_m} = 1.$$

Подставив  $\psi$  из (5), получаем в относительных единицах:

$$\bar{U}_{omin} = \sin \beta \cdot e^{-\left(\frac{2\pi}{m} - \lambda_e\right) \cot \beta},$$

где:  $\bar{U}_{omin} = \frac{U_{omin}}{\varepsilon_m}.$

Подставив  $e^{-\left(\frac{2\pi}{m} - \lambda_e\right) \cot \beta}$  из (6), после преобразований получаем:

$$\bar{U}_{omin} = \sin(\lambda_e + \beta). \quad (17) = \sin \psi.$$

И, наконец, :

$$\Delta \bar{U} = 1 - \sin(\lambda_e + \beta). \quad (18)$$

На практике обычно задают пульсацию выпрямленного напряжения в отношении к среднему значению выпрямленного напряжения, т.е.

$$\Delta U' = \frac{\Delta U}{U_0} = \frac{\Delta \bar{U}}{\bar{U}_0}.$$

Подставив  $\Delta \bar{U}$  и  $\bar{U}_0$  из (18) и (11), получаем

$$\Delta \bar{U}_1 = \frac{1 - \sin(\lambda_e + \beta)}{\frac{m}{\pi} \cdot \frac{1}{\cos \beta} \cdot \sin^2 \frac{\lambda_e}{2}}. \quad (19)$$

При  $\beta \rightarrow \frac{\pi}{2}$ , т.е. при больших  $\omega R C$ ,  $(k_{\pi}) \approx 2\theta \cot \beta = \frac{2\theta}{\omega R C} = \frac{2\pi}{m \cdot 2\pi f R C} = \frac{T}{m R C}$ .

В дальнейшем будем использовать выражение (19)

#### Мощность, потерь в вентиле <sup>x)</sup>

Вольтамперная характеристика (вах) полупроводникового вентиля представлена на рис. 4.

С достаточной для практики точностью, аппроксимируя

x) В настоящее время в схемах выпрямления в подавляющем большинстве случаев применяются полупроводниковые вентили, поэтому определение мощности, выделяющейся в вентиле, даётся применительно к полупроводниковым вентилям.

прямую ветвь характеристики отрезками прямых  $\overline{OA}$  и  $\overline{OB}$  получаем

$$U_{\varepsilon} = U_{np} + R_{\varepsilon} \cdot i_{\varepsilon},$$

где сопротивление  $R_{\varepsilon} = \text{ctg} \alpha = \frac{\Delta U_{\varepsilon}}{\Delta i_{\varepsilon}}$ .

Тогда мощность потерь от прямого тока вентиля будет

$$P_{np} = \frac{1}{2\pi} \int_0^{2\pi} U_{\varepsilon} \cdot i_{\varepsilon} dV = \frac{1}{2\pi} \int_0^{I_{\varepsilon}} (U_{np} + R_{\varepsilon} \cdot i_{\varepsilon}) \cdot i_{\varepsilon} dV.$$

Но

$$U_{np} = \frac{1}{2\pi} \int_0^{I_{\varepsilon}} i_{\varepsilon} dV = U_{np} \cdot \bar{i}_{\varepsilon},$$

где среднее значение тока вентиля  $\bar{i}_{\varepsilon} = \frac{I_0}{m}$ .

$$R_{\varepsilon} \cdot \frac{1}{2\pi} \int_0^{I_{\varepsilon}} i_{\varepsilon}^2 dV = R_{\varepsilon} \cdot J_{\varepsilon}^2$$

Эффективное значение тока вентиля  $J_{\varepsilon}$  было определено - выражения (12), (13). (полагаем что вах вентиля на форму тока по сравнению с  $R$  и  $C$  влияет незначительно, и этим влиянием можно пренебречь).

Таким образом,

$$P_{np} = U_{np} \frac{\bar{i}_{\varepsilon}}{m} + R_{\varepsilon} J_{\varepsilon}^2. \quad (20)$$

В непроводящую часть периода вентиль находится под воздействием обратного напряжения.

Потери мощности в этом случае будут:

$$P_{обп} = \frac{1}{2\pi} \int_{I_{\varepsilon}}^{2\pi} U_{обп} \cdot i_{\varepsilon обп} dV.$$

Обозначив "пороговый" ток  $I_1$  (см. рис. 4), имеем:

$$i_{\epsilon} = I_1 + \frac{1}{R_1} U_{\text{обр}},$$

где:  $R_1 = \frac{\Delta U_{\epsilon 1}}{\Delta i_{\epsilon 1}}$ ;  $U_{\text{обр}}$  - мгновенное значение обратного напряжения.

В итоге получаем

$$P_{\text{обр}} = \bar{I}_1 \cdot U_{\text{обр. ср}} + \frac{1}{R_1} \cdot U_{\text{обр. эф}}^2, \quad (21)$$

где:  $U_{\text{обр. ср}}$  - среднее значение обратного напряжения

$$U_{\text{обр. ср}} = \frac{1}{2\pi} \int_{\lambda_{\epsilon}}^{2\pi} U_{\text{обр}} d\psi,$$

$U_{\text{обр. эф}}$  - эффективное значение обратного напряжения

$$U_{\text{обр. эф}}^2 = \frac{1}{2\pi} \int_{\lambda_{\epsilon}}^{2\pi} U_{\text{обр}}^2 d\psi.$$

Общие потери в вентиле

$$P_{\epsilon} = P_{\text{пр}} + P_{\text{обр}}. \quad (22)$$

Полученные выше зависимости позволяют полностью рассчитывать схему  $m$  - фазного выпрямления и выбрать её элементы.

Перейдем к рассмотрению особенностей работы схемы  $m$  - фазного выпрямления (рис. 1).

Все полученные выше зависимости справедливы для  $m$  - фазных схем выпрямления при выполнении определённых условий. Для  $m=1$  и  $m=2$  никаких ограничений по применению полученных зависимостей нет. Иначе обстоит дело при  $m \geq 3$

(т.е. для многофазных схем выпрямления). Все полученные ранее зависимости справедливы (для  $m \geq 3$ ) лишь при условии, что длительность горения вентилей  $\lambda_g$  не превышает величины  $\frac{2\pi}{m}$ . Величина  $\lambda_g$ , определяемая согласно (6), зависит от величины  $\beta$ , т.е. от  $\omega RC$ . ( $\operatorname{tg} \beta = \omega RC - (14)$ ).

При <sup>зад</sup>анных  $\omega$  и  $R$  значение  $\beta$  (а, следовательно, и  $\lambda_g$ ) определяется величиной ёмкости  $C$ .

Совершенно очевидно, что чем больше величина ёмкости, тем меньше колебания напряжения на ней (и, естественно, на нагрузке  $R$ ) и тем меньше длительность горения вентиля  $\lambda_g$ . По мере уменьшения ёмкости величина  $\lambda_g$  растёт и при некотором критическом значении ёмкости  $C = C_{кр}$  длительность горения вентиля  $\lambda_g$  достигает критической величины  $\lambda_{g,кр} = \frac{2\pi}{m}$

(равной длительности горения вентиля при чисто активной нагрузке, т.е. при  $C=0$ ). При дальнейшем уменьшении ёмкости  $\lambda_g$  увеличиться физически не может, поскольку момент открытия вентиля будет определяться только точкой пересечения ЭДС фаз трансформатора - т. А рис. 2 (аналогично известному случаю работы выпрямителя на чисто активную нагрузку). В этом случае ёмкость  $C$  и нагрузка  $R$  работают независимо.

Назовём режим при  $C > C_{кр}$  докритическим, режим при  $C = C_{кр}$  - критическим и режим при  $C < C_{кр}$  - закритическим. Очевидно, что закритический режим недопустим, ибо ёмкость, устанавливаемая для сглаживания кривой выпрямленного напряжения, никакого полезного действия не оказывает. Наоборот, сказывается её вредное воздействие, выражающееся в бесцельном искажении тока вентиля (и трансформатора) зарядным током ёмкости, что ведёт к дополнительным потерям мощности. Для закритического режима справедливы уравнения (1)÷(4), куда следует лишь подставить

$$\psi = \psi_{кр} = \frac{\pi(m-2)}{2m}$$

Качественные

✓ графики напряжений и токов закритического режима приведены на рис. 5.

Качественные графики напряжений и токов для критического режима приведены на рис. 6 (для примера взята мостовая 3-х фазная схема Ларионова).

Критическое значение емкости найдем из следующих соображений:

$$\text{В критическом режиме } \beta_{кр} = \frac{2\pi}{m}; \quad \psi_{кр} = \frac{\pi(m-2)}{2m}.$$

Подставив  $\beta_{кр}$  и  $\psi_{кр}$  в (5), получаем

$$\beta_{кр} = \psi_{кр}; \quad \text{tg } \beta_{кр} = \text{tg } \frac{\pi(m-2)}{2m} = \text{ctg } \theta. \quad (\beta_{кр} = \psi_{кр} = \psi_0 = \frac{\pi}{2} - \theta).$$

Но  $\text{tg } \beta_{кр} = \omega R C_{кр}$ , откуда при  $\omega$  и  $R$  const:

$$\boxed{C_{кр} = \frac{1}{\omega R} \text{tg } \frac{\pi(m-2)}{2m}} \quad (23) = \frac{\text{ctg } \theta}{\omega R} = 1/\omega R \text{tg } \theta. \quad (23')$$

Из (23) следует:

1. Для заданных  $m$  и  $\omega$  зависимость  $C_{кр} = f(R)$  представляет собой гиперболу с центром в начале координат и координатами вершины

$$C_в = R_в = +\sqrt{\frac{1}{\omega} \text{tg } \frac{\pi(m-2)}{2m}}.$$

2. Зависимость  $C_{кр} = f(\omega)$  при заданных  $R$  и  $m$  также представляет собой гиперболу с координатами вершины

$$C_в = \omega_в = +\sqrt{\frac{1}{R} \text{tg } \frac{\pi(m-2)}{2m}}.$$

Зависимости  $C_{кр} = f(R)$  и  $C_{кр} = f(\omega)$  изображены на рис. 7.

3. Функция  $C_{кр} = f(m)$  при заданных  $R$  и  $\omega$  изменяется по закону тангенса и близка к линейной зависимости. С увеличением  $m$  значение  $C_{кр}$  возрастает.

4. Для частот  $f=50$  гц и  $f=400$  гц выражение (23) может быть записано в удобной для практических расчетов форме:



$$C_{кр} = 3185 \frac{1}{R} \operatorname{tg} \frac{\pi(m-2)}{2m} ; [\text{мкф}] , (24)$$

( $f = 50 \text{ Гц}$ )

$$C_{кр} = 400 \frac{1}{R} \operatorname{tg} \frac{\pi(m-2)}{2m} ; [\text{мкф}] , (25)$$

( $f = 400 \text{ Гц}$ )

**Итак:** В схеме  $m$ -фазного выпрямления при работе на параллельную цепь  $RC$  при отсутствии внутреннего сопротивления питающего трансформатора возможны три режима:

1. Докритический режим - основной рабочий режим, имеющий место при  $C > C_{кр}$  (для  $m=1$  и  $m=2$   $C_{кр} = 0$ ), для которого справедливы все выведенные выше зависимости.

2. Критический режим, имеющий место при  $C = C_{кр}$ . Все выражения справедливы и для этого режима.

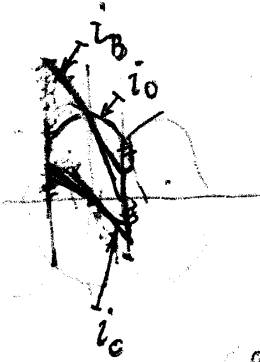
3. Закритический режим, имеющий место при  $C < C_{кр}$ . Выведенные выше зависимости для данного режима утрачивают силу. Режим практического интереса, с точки зрения выпрямительной техники, не представляет, ибо ёмкость становится просто излишней и ведёт к бесцельной перегрузке трансформатора и вентиляей.

**P.S. Замечание.** При  $C = \text{const}$  и  $R = \text{var}$  возможен режим, когда  $\lambda = 2\pi/m$ . В этом случае может быть введено аналогичное понятие - «критической нагрузки»  $R_{кр}$ . При  $R > R_{кр}$  и  $R < R_{кр}$  имеем докритический и закритический режимы, соответственно. Для  $m=1$  и  $m=2$  сопротивление  $R_{кр} = 0$ . Тем самым, режим короткого замыкания (КЗ) нагрузки соответствует критическому режиму в указанном смысле.  $\lambda_{вкр} = 2\pi/m$ .

Следует исследовать этот вариант изменения нагрузки и на основе полученных результатов построить нагрузочную или внешнюю характеристику.

21.8.67

Закритический режим  $\rho < \eta$  (только при  $m > 3$ )! P.S. Кстр. 18 Отчёта 67



$g \leq g_{кр} = c \operatorname{tg} \theta$ .  $\beta_{кр} = \pi/2 - \theta$ .  $\beta$  старая.

$\Lambda = \Lambda_{кр} = 2\theta$   $\Psi_{кр} = \beta_{кр}$

$\Psi = \pi - \beta_{кр} - \Lambda_{кр} = \pi/2 - \theta = \Psi_0$ .

$i_C(\vartheta) = \cos(\vartheta + \pi/2 - \theta) \cdot g = g \sin(\theta - \vartheta)$ .

$i_B(\vartheta) = \frac{1}{\cos \beta} \sin(\vartheta + \pi/2 - \theta + \beta) = \frac{1}{\cos \beta} \cos(\vartheta - \theta + \beta)$ .  $\frac{1}{\cos \beta} = s_{c\beta}$

$i_0(\vartheta) = \sin(\vartheta + \Psi_0) = \sin(\vartheta + \pi/2 - \theta) = \cos(\vartheta - \theta)$ .

при  $m > 3$

$I_0 = \frac{\sin \theta}{\theta}$  ;

$K_n = \frac{1 - \cos \theta}{\sin \theta / \theta} = \theta \frac{2 \sin \theta/2}{2 \sin \theta/2 \cos \theta/2} = \theta \operatorname{tg} \frac{\theta}{2}$  ;

Амплитуды: токов  $i_0, i_B, i_C$ : (с основанием  $O_z \in R$ )

$i_{aB(R)} = s_{c\beta} = 1/\cos \beta$ .

$i_{aC(R)} = g \cos(\pi/2 - \theta) = g \sin \theta$ .

$i_{a0(R)} = 1$ .

Т.к. граничный режим наступает позднее (при больших  $g$ ), чем критич-й, то в данном режиме экстр. токов нет. К тому же это относ-ся только к  $m=3$ .

Вывод

$\Psi = \Psi_0 = \pi/2 - \theta$ ;  $\Lambda = 2\theta$ ;

$i_0 = \cos(\vartheta - \theta)$ .

$i_B = i_0 + i_C = \frac{1}{\sin \beta} \sin(\beta - \vartheta + \theta) = -c_{s\beta} \sin(\vartheta - \theta - \beta)$

$i_C = g i_0' = +g \sin(\theta - \vartheta)$ .   
  $= c_{t\beta}$

$0 \leq \vartheta \leq 2\theta$

$\sin^2 \beta \cdot 2\pi J_B^2 = \int_0^{2\theta} \sin^2(\vartheta - \theta - \beta) = \frac{1}{2} \left( \vartheta - \frac{1}{2} \sin 2(\vartheta - \theta - \beta) \right) \Big|_0^{2\theta} =$   
 $= \frac{1}{2} \left[ 2\theta - \frac{1}{2} \sin 2(\theta - \beta) - \frac{1}{2} \sin 2(\theta + \beta) \right] = \frac{1}{2} [2\theta - \sin 2\theta \cos 2\beta]$ .

$J_B = \frac{1}{2 \sin \beta} \sqrt{(2\theta - \sin 2\theta \cos 2\beta) / \pi}$